

Une Etude d'un Anneau de Vorticit  par D veloppement Asymptotique Raccord  (DAR)

Introduction

- Approche de la dynamique de la vorticit : l'un des moyens des plus fondamentaux de compr hension du mouvement des fluides.
- Apr s s' tre int ress    la vorticit  en g n ral (rapport bibliographique), on a  tudi  le cas particulier d'un "anneau tourbillon"   vorticit  concentr e par un DAR.

Plan de l'exposé

- I Présentation de l'anneau de vorticit 
- II Le d roulement des calculs et les  quations finales
- III R solution Num rique et R sultats.

I

Pr sentation de l'anneau de vorticit 

  G n ralit s sur la vorticit :

* vecteur vorticit  :

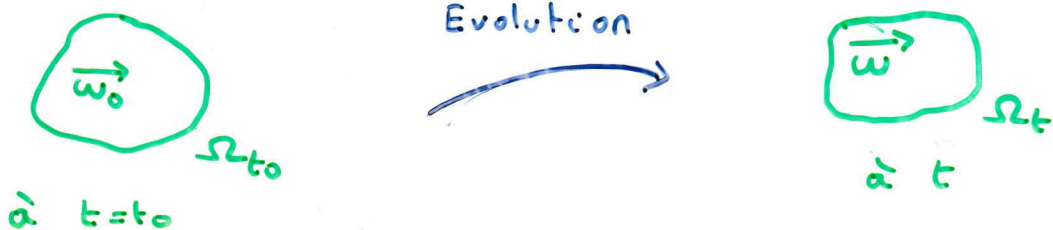
$$\vec{\omega} = \text{rot } \vec{v} = 2\vec{\Omega}$$

Navier Stokes + Equa. Continuit  \Rightarrow :

$$\text{div } \vec{\omega} = 0$$

$$\frac{\partial \vec{\omega}}{\partial t} + \text{rot}(\vec{\omega} \wedge \vec{v}) = \nu \Delta \vec{\omega}$$

 quation de la vorticit 

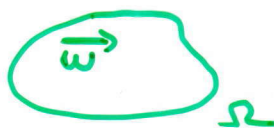


* Formule de Biot :

$$\vec{v} = \text{grad} \psi + \text{rot} \vec{A} \quad \text{avec} \quad \text{div} \vec{A} = 0$$

$$\Rightarrow -\Delta \vec{A} = \vec{\omega} \quad \text{Équation de Poisson}$$

Solution élémentaire
Convolution $\rightarrow \vec{A} = \frac{1}{4\pi} \int_{\Omega} \frac{\vec{\omega}(\xi)}{|\vec{x} - \xi|} d\xi$



$$\vec{v} = \frac{1}{4\pi} \int_{\Omega} \frac{\vec{\omega}(\xi) \wedge (\vec{x} - \xi)}{|\vec{x} - \xi|^3} d\xi$$

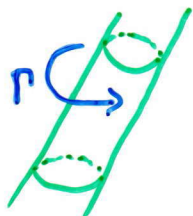
$$\vec{v} \Leftrightarrow \vec{\omega}$$

* Cas $v=0$:

\rightarrow Equations d'Helmoltz et de Cauchy.

\rightarrow Théorèmes de Kelvin, de Lagrange et d'Helmoltz : $\vec{\omega}$ est gelé dans le fluide

\rightarrow Intensité d'un tube tourbillon



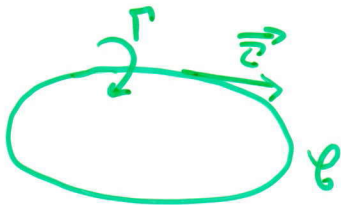
Le tube est fermé :

vorticité que dans un tube \Rightarrow Anneau tourbillon.



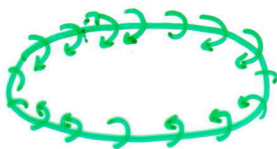
② Filet tourbillon:

* Vorticité concentrée sur une fibre \mathcal{C} :



$$\vec{\omega} = \Gamma \delta_{\mathcal{C}} \vec{\tau} \quad \text{où } \langle \delta_{\mathcal{C}}, \varphi \rangle = \oint_{\mathcal{C}} \varphi(s) ds.$$

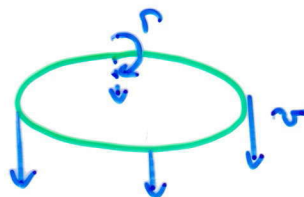
$$\text{Biot} \Rightarrow \vec{v} = \frac{\Gamma}{4\pi} \oint_{\mathcal{C}} \frac{\vec{\tau} \wedge (\mathbf{x} - \xi)}{|\mathbf{x} - \xi|^3} d\xi$$



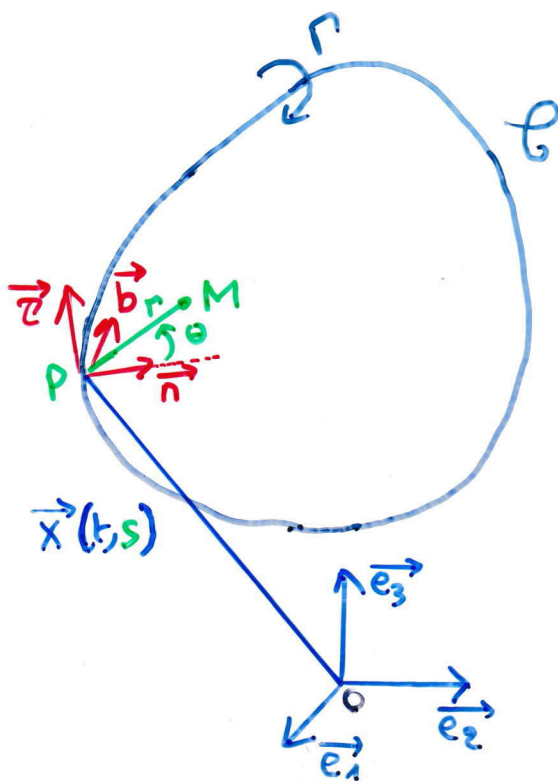
anneau des
fumeurs.

* Evolution de la fibre?

→ vitesse induite



→ coordonnées curvilignes + dev. limitée:



$$\left\| \begin{array}{l} (\vec{\tau}, \vec{n}, \vec{b}) \\ (s, r, \theta) \\ (\vec{e}, \vec{r}, \vec{\theta}) \end{array} \right\|$$

$$\frac{\overrightarrow{OM}}{\overrightarrow{OP}} = \frac{\vec{x}}{\vec{X}}$$

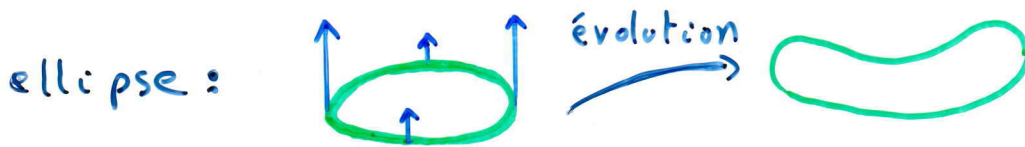
$$\underline{\vec{x} = \vec{X}(s) + r \vec{r}(\theta, s)}$$

dev. limitée en $r=0 \Rightarrow$:

$$\vec{v} = \frac{\Gamma}{2\pi r} \vec{\theta} + \frac{\Gamma K}{4\pi} \left[\ln \frac{2\sqrt{st_s^-}}{r} - 1 \right] \vec{e}_r + \frac{\Gamma K}{4\pi} \cos\theta \vec{\theta} + \underline{Q_F}$$

C'est donc singulier en $r=0 \rightarrow$ pas de détermination de l'évolution.

terme constant à exprimer.



③ Anneau de faible épaisseur:

v et $\vec{\omega}$ confinés autour d'une fibre centrale \mathcal{C} .

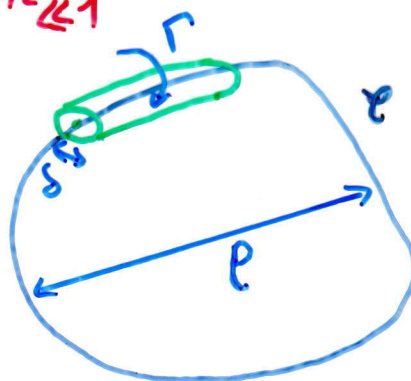
$$Re = \Gamma / \nu$$

petit paramètre: $\varepsilon = (Re)^{-1/2} \ll 1$

$$\delta / \rho = O(\varepsilon)$$

$$\Gamma = O(\nu \rho)$$

$$X_t = O(\nu)$$



δ : "épaisseur"

ρ : longueur caracté.

ν : vitesse caracté.

(couche limite de viscosité) \rightarrow

* Pb. extérieur: filet tourbillon (loin de \mathcal{C})

* Pb. intérieur: Variable de dilatation: $\bar{r} = r/\varepsilon$

Conditions limites en $\bar{r}=0$:

$$\begin{aligned} \parallel [X_t - v(t, x)] \wedge \vec{e}_r &= 0 \\ \vec{X}_t \cdot \vec{e}_r &= 0 \end{aligned}$$

Raccordement

II

Le déroulement des calculs et les équations finales.

① Problème extérieur : Biot + $d\ell$ en $r=0$; Le filet tourbillon.

② Problème intérieur :

②① Equations en coordonnées curvilignes :

* $\vec{v} = \dot{\chi} + \vec{V}$ $\vec{V} = u \vec{r} + v \vec{\theta} + \omega \vec{z}$

↙ radiale ↓ circumférentielle ↘ axiale.

* Conservation de la masse :

$$(urh_3)_r + (h_3v)_\theta + r\omega_s + r\dot{\chi}_s \vec{z} = 0$$

où $h_3 = 1 - rK \cos \vartheta$

* Navier Stokes :

$$\ddot{\chi} + \frac{\dot{\chi}_s}{h_3} (\omega - r \vec{r}_t \cdot \vec{z}) + \frac{d^R \vec{V}}{dt} = -\vec{\nabla} p + \frac{\nu}{h_3} \left(\frac{1}{h_3} \dot{\chi}_s \right)_s + \nu \Delta \vec{V}$$

②② Forme des Dév. Asymptotiques :

$$u(t, \bar{r}, \theta, s, \varepsilon) = v^{(1)}(t, \bar{r}, \theta, s) + \varepsilon v^{(2)} + \dots$$

$$v(t, \bar{r}, \theta, s, \varepsilon) = \varepsilon^{-1} v^{(0)}(t, \bar{r}, \theta, s) + v^{(1)}(t, \bar{r}, \theta, s) + \varepsilon v^{(2)} + \dots$$

$$\omega(t, \bar{r}, \theta, s, \varepsilon) = \varepsilon^{-1} \omega^{(0)}(t, \bar{r}, \theta, s) + \omega^{(1)}(t, \bar{r}, \theta, s) + \varepsilon \omega^{(2)} + \dots$$

$$p(t, \bar{r}, \theta, s, \epsilon) = \epsilon^{-2} p^{(0)}(t, \bar{r}, \theta, s) + \epsilon^{-1} p^{(1)} + \dots$$

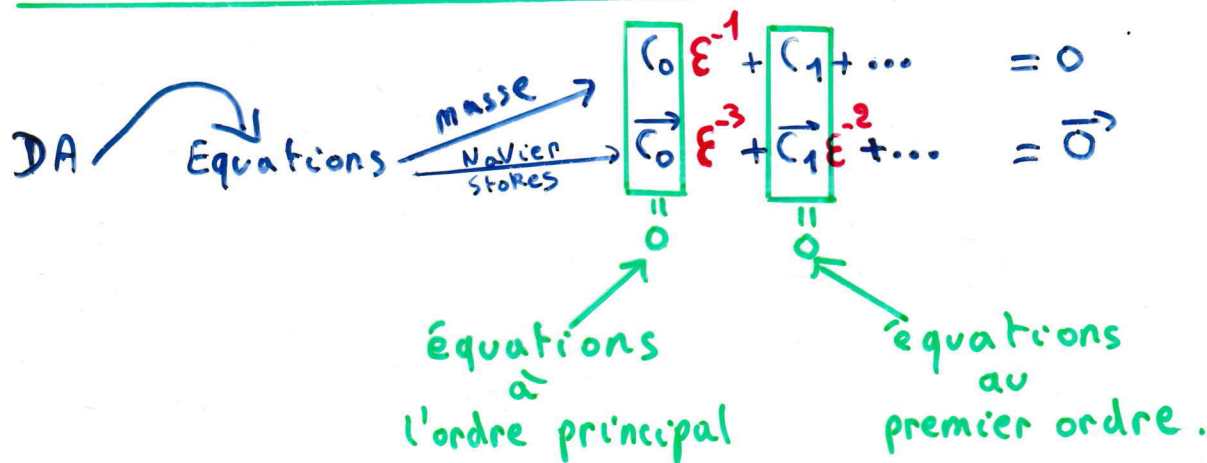
$$\vec{\omega}(t, \bar{r}, \theta, s, \epsilon) = \epsilon^{-2} \omega^{(0)}(t, \bar{r}, \theta, s) + \epsilon^{-1} \omega^{(1)} + \dots$$

$$\vec{x}(t, s, \epsilon) = x^{(0)}(t, s) + \epsilon x^{(1)} + \dots = h_3^{(0)} + \epsilon h_3^{(1)} + \dots$$

(0): ordre principal (1): 1^{er} ordre (2): second ordre.

$$\mathcal{L} = \vec{rot} \vec{V} \cdot \vec{e}$$

②③ Déroulement des calculs:



* équa. à l'ordre principal: $C_0 = 0$ $\vec{C}_0 = 0$ projeté sur $\vec{r}^{(0)}$, $\vec{\theta}^{(0)}$, $\vec{r}^{(0)}$
 $\rightarrow v_{r,\theta}^{(0)} = 0 \dots$

* équa. au 1^{er} ordre: $F_c = (1/2\pi) \int_0^{2\pi} F(\theta) d\theta$ $F = F_c + F_a$
 sym antisym.

+ Symétrique: on fait: $\int d\theta \Rightarrow$ equa de compatibilités.

cas particulier: $v^0(t, \bar{r})$ et $\omega^0 = \omega^0(t, \bar{r})$

+ antisymétrique:

Fonction de courant Ψ
 Elimination de $p^{(1)}$ \Rightarrow Equation en Ψ :
 séparation des variables
 (séries de Fourier) + cl en $\bar{r}=0$
 \rightarrow solution.

* raccordement:

- DL de cette solution en $\bar{r}=\infty$.

- DL de la solution extérieur en $r=0$ (exprimer en Ψ)



$$\begin{aligned} \dot{X}^{(0)} \cdot b^{(0)} &= \frac{\Gamma k^{(0)}}{4\pi} \ln \frac{1}{\varepsilon} + Q_f \cdot b^{(0)} + k^{(0)} c^* \\ \dot{X}^{(0)} \cdot n^{(0)} &= Q_f \cdot n^{(0)} \quad \dot{X}^{(0)} \cdot \tau^{(0)} = 0 \end{aligned} \quad (1)$$

$C^*(t)$ est exprimé sous forme d') de $v^{(0)}$ et $\omega^{(0)}$

Évolution de \mathcal{C} : $X^{(0)} \xleftrightarrow{\text{lien}} \text{vitesses: } v^{(0)}, \omega^{(0)}$

Rem: dégénérescence: pas de $\ddot{X} \Rightarrow (I: \vec{X}(0, s))$

* Équations au 2^{ème} ordre: $X(t, s+s) = X(t, s)$ périodicité.

En fait $\int d\theta$ et $\int ds \Rightarrow$

$$\begin{aligned} \omega_t^{(0)} - \Gamma \frac{1}{r} \left(r \omega_{\frac{r}}^{(0)} \right)_{\frac{r}} &= \frac{1}{2} r^3 \left(\frac{\omega^{(0)}}{r^2} \right)_{\frac{r}} \frac{\dot{s}^{(0)}}{s^{(0)}} \\ v_t^{(0)} - \Gamma \left[\frac{1}{r} \left(r v_{\frac{r}}^{(0)} \right)_{\frac{r}} - \frac{v^{(0)}}{r^2} \right] &= \frac{1}{2} \left(r v^{(0)} \right)_{\frac{r}} \frac{\dot{s}^{(0)}}{s^{(0)}} \end{aligned} \quad (2)$$

$s^{(0)}(t)$: longueur de \mathcal{C} .

vitesses: $v^{(0)}, \omega^{(0)} \xleftrightarrow{\text{lien}} \text{Évolution de } \mathcal{C}: \dot{S} \text{ et } S(t).$

(1) et (2): Système couplé complet d'équations.

résolution de (2): + changement de fonctions et de variables:
 \Rightarrow une même équation pour les deux.

+ séparation de variables + chgt de variable:
 \Rightarrow équ diff de Laguerre: solu = polynôme de Laguerre L_n

D'où :

$$\omega^{(0)} = \frac{1}{s^{(0)}} e^{-\eta^2} \sum_{n=0}^{\infty} C_n L_n(\eta^2) \mathcal{P}_1^{-(n+1)}$$
$$y^{(0)} = \frac{1}{s^{(0)}} e^{-\eta^2} \sum_{n=0}^{\infty} D_n L_n(\eta^2) \mathcal{P}_1^{-(n+1)}$$

$$\eta = \bar{r} \sqrt{\frac{s^{(0)}(t)}{4\Gamma \mathcal{P}_1(t)}} \quad \mathcal{P}_1 = \int_0^t s^{(0)}(t') dt' + \mathcal{P}_{10}$$

\mathcal{P}_{10} : constante arbitraire (une pour chaque équation).

Choix optimal de \mathcal{P}_{10} : on annule C_1 et D_1 .

C_n et D_n données par les CI.

CI telles que seul C_0 et $D_0 \neq 0$ Anneau similaire

Il dépend de ϵ , Γ , \mathcal{P}_{10} et $m(\omega) = 2\pi \int_0^{\infty} \bar{r} \omega^{(0)}(\omega, \bar{r}) d\bar{r}$.

②4 Equation Finale : anneau similaire.

$$X_f(t, s) = Q^*(t, X) + \frac{\Gamma K}{4\pi} \left[\ln \frac{1}{\epsilon} + C_v(t) \right] \vec{b} + \frac{\Gamma K}{4\pi} (\omega(t) \vec{b})$$

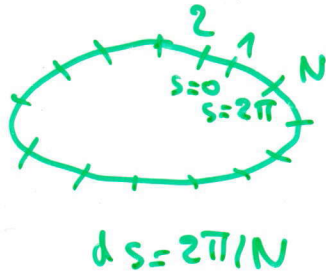
+ o o o

III

Résolution numérique et Résultats

Equation simplifiée : $X_t = \frac{\Gamma}{4\pi} \ln(1/\varepsilon) K \vec{b}$

* Discretisation spatiale: différences finies.



$$\frac{\partial a}{\partial x}(x^i) \approx \frac{a(x^{i+1}) - a(x^{i-1})}{2 ds}$$

$$\frac{\partial^2 a}{\partial x^2} \approx \frac{a(x^{i+1}) - 2a(x^i) + a(x^{i-1}))}{(ds)^2}$$

* Discretisation temporelle: methode d'Euler.

$$t = (k+1)dt \quad X_{i,t}^i \approx \frac{X^{i,k+1} - X^{i,k}}{dt}$$

* Equation discrete: on choisit une methode implicite.

$$\frac{X^{i,k+1} - X^{i,k}}{dt} = \alpha \ln(1/\varepsilon) \left[\frac{X^{i+1,k+1} - X^{i-1,k+1}}{2 ds} \right] + \left[\frac{X^{i+1,k+1} - X^{i-1,k+1}}{2 ds} \wedge \frac{X^{i+1,k+1} - 2X^{i,k+1} + X^{i-1,k+1}}{(ds)^2} \right]$$

avec $\alpha = \Gamma/4\pi$

Non linéaire \Rightarrow methode itérative de recherche de zéro

spatiale et temporelle \Rightarrow methode des trapèzes.

vue de l' ellipse : $a=2$ $b=1.5$ $dt=58e-2$

